

Б.44

**И Н С Т И Т У Т  
ЯДЕРНОЙ ФИЗИКИ СОАН СССР**

ИЯФ 1 - 70

С.Т.Беляев, Б.А.Румянцев

**"КОЛЛЕКТИВНЫЕ  $O^+$  СОСТОЯНИЯ  
В ДЕФОРМИРОВАННЫХ ЯДРАХ"**

Новосибирск

1970

v

# \*КОЛЛЕКТИВНЫЕ $O^+$ СОСТОЯНИЯ В ДЕФОРМИРОВАННЫХ ЯДРАХ\*

( $\beta$  - колебания и флуктуации спаривания)

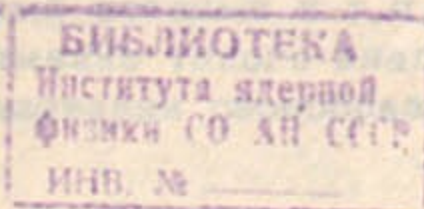
Институт ядерной физики СО АН СССР

Новосибирск

С.Т.Беляев, Б.А.Румянцев

## А Н Н О Т А Ц И Я

Разработан метод аналитического исследования коллективных колебаний в деформированных ядрах, основанный на своеобразном квазиклассическом приближении. С его помощью проанализирована интерференция  $\beta$  -колебаний с флуктуациями спаривания, а также другими коллективными ветвями симметрии  $O^+$ . При этом оказывается возможным не только качественное рассмотрение, но и получение количественных результатов, удовлетворительно согласующихся с экспериментом.



\*) Некоторые результаты данной работы сообщались на конференциях по структуре ядра в Тель-Авиве (1987).

## 1. В в е д е н и е

Основные закономерности коллективных колебаний деформированных ядер удовлетворительно описываются в рамках простой двухпараметрической модели со спариванием и квадрупольным взаимодействием. Численные расчёты в рамках этой модели для  $\gamma$ -колебаний находятся в хорошем согласии с экспериментом. Для  $\beta$ -колебаний согласие достигнуто лишь в общих чертах, и для его улучшения, по-видимому, требуется определенная модификация теории. В этом направлении сделано уже несколько попыток (отказ от единой константы квадрупольного взаимодействия для всех ядер, различные константы для протон-протонных и протон-нейтронных пар, учёт блокировки и т.д. /1-2/). С другой стороны делаются попытки использовать дополнительные взаимодействия другой природы (спин-квадрупольные силы /3/). Включение дополнительных членов взаимодействия, и следовательно новых свободных параметров может улучшить согласие с экспериментом, однако такой путь является, на наш взгляд, мало удовлетворительным. Как показано в /4-5/; исходя из принципа калибровочной инвариантности взаимодействия, можно восстановить некоторые дополнительные члены взаимодействия без введения новых параметров. Дополнительные члены генерируют новые ветви коллективных возбуждений - когерентные флуктуации спаривания. В принципе эти ветви интерферируют с  $\beta$  и  $\gamma$ -колебаниями. Целью настоящей работы является исследование коллективных колебаний  $O^+$  в деформированных ядрах с учётом связи  $\beta$ -колебаний и флуктуаций спаривания.

Количественное решение этой задачи может быть получено численными расчётами на машинах, однако численные результаты обычно очень трудно анализировать с точки зрения существенности различных факторов (чувствительность к константам, влияние связи между различными ветвями и т.д.). Основная цель данной работы - проведение именно такого анализа, что оказывается возможным при использовании своеобразного квазиклассического приближения.

- 1) Некоторые результаты данной работы докладывались на конференции по структуре ядра в Токио (1967).

## 2. Основные уравнения

Коллективные возбуждения в приближении хаотических фаз описываются системой двух связанных уравнений интегрального типа /4/

$$\omega Z^{(\pm)}(11') + E_{11'} Z^{(\pm)}(11') + 2 \sum_{22'} \langle 11' | G^{(\pm)} | 22' \rangle Z^{(\pm)}(22') + 2 \eta_{21'}^{(\pm)} \sum_{22'} \langle 12' | G^{(\pm)} | 21' \rangle \eta_{22'}^{(\pm)} Z^{(\pm)}(22') = \Phi_{11'}^{(\pm)} \quad (2.1)$$

где

$$\Phi_{vv'}^{(\pm)} = \pm i (\eta_{vv'}^{(\pm)} V_{vv'}^{(\pm)} - \sum_{vv'}^{(\pm)} \bar{V}_{vv'})$$

$$E_{vv'} = E_v + E_{v'}$$

$$\eta_{vv'}^{(\pm)} = U_v U_{v'} \mp \bar{v}_v \bar{v}_{v'} \quad \eta_{vv'}^{(\pm)} = U_v \bar{v}_{v'} \pm \bar{v}_v U_{v'}$$

( $E_v$  - энергия квазичастиц в состоянии  $v$ ,  $U_v, \bar{v}_v$  - коэффициенты преобразования Боголюбова<sup>x)</sup>),  $G^{(\pm)}$  -  $T$  - четная и  $T$  - нечетная (относительно одной из частиц) часть эффективного взаимодействия в канале частица-дырка,  $G$  - взаимодействие в канале частица-частица. Правая часть (2.1) содержит внешнее воздействие  $V$ , причём оно может как сохранять число частиц, так и менять его на две единицы (как, например, в  $(t, \rho)$  - реакции). В общем случае, в представлении вторичного квантования

$$V = \sum_{vv'} \{ V_{vv'}^{(+)} (a_v^+ a_{v'} - a_v a_{v'}^+) - V_{vv'}^{(-)} (a_v a_{v'}^+ + a_v^+ a_{v'}) \}$$

$$x) \quad 2U_v \bar{v}_v = \Delta/E_v \quad U_v^2 - \bar{v}_v^2 = E_v/E_v \quad E_v = \sqrt{E_v^2 + \Delta^2}$$

Здесь  $E_v$  - энергии одночастичных уровней, отсчитанные от границы Ферми, а  $\Delta$  - параметр куперовского спаривания (энергетическая щель).

$$+ \bar{V}_{vv'}^{(+)} (a_v a_{v'} + a_v^+ a_{v'}^+) - \bar{V}_{vv'}^{(-)} (a_v a_{v'}^+ - a_v^+ a_{v'}) \} \quad (2.2)$$

(состояния  $V$  и  $\bar{V}$  сопряжены по времени).

Энергии коллективных состояний  $\omega_n$ , возбуждаемых данным внешним полем, определяются как полюса решений  $Z^{(\pm)}(\omega)$  а вычеты в этих полюсах определяют вероятность перехода в основное состояние согласно

$$| \langle 0 | V | \omega \rangle |^2 = \left[ \frac{\omega^2 - \omega_n^2}{\omega_n} \sum_{vv'} \{ \Phi_{vv'}^{(+)} Z^{(+)}(vv') - \Phi_{vv'}^{(-)} Z^{(-)}(vv') \} \right]_{\omega^2 \rightarrow \omega_n^2} \quad (2.3)$$

В рассматриваемом приближении коллективное состояние  $|\omega_n\rangle$  порождается некоторым бозе-оператором (фоном) из основного состояния.

$$|\omega_n\rangle = \sigma_n^+ |0\rangle$$

причем  $\sigma_n^+$  представляется в виде билинейной комбинации операторов квазичастиц  $d, d^+$

$$\sigma_n^+ = \sum_{vv'} \{ A^{(+)}(vv') (d_v^+ d_{v'}^+ - d_{v'} d_v) + A^{(-)}(vv') (d_v^+ d_{v'} + d_{v'} d_v) \} \quad (2.4)$$

Если правая часть (2.4) известна, то вероятность перехода (2.3) может быть найдена независимо

$$\langle 0 | V | \omega_n \rangle = -2i \sum_{vv'} \{ A^{(+)}(vv') \Phi_{vv'}^{(+)} - A^{(-)}(vv') \Phi_{vv'}^{(-)} \}^* \quad (2.4a)$$

Из сравнения (2.4a) с (2.3) определяются  $A^{(\pm)}$ , а тем самым и структура коллективного состояния<sup>x)</sup>.

x) Детали вывода выписанных формул содержатся в /4/, ниже обозначаемой цифрой 1, так что ссылки на соответствующие формулы /4/ даются в виде (1.2.13) и т.д. Заметим, что некоторые обозначения здесь отличаются от /4/ постоянными множителями.

Будем считать, что эффективное взаимодействие нуклонов как в канале частица-частица, так и в канале частица-дырка, представимо в виде суммы нелокальных сепарабельных потенциалов  $x$ ).

$$\langle 11' | G | 22' \rangle = -\frac{1}{2} G \sum_{\sigma} \langle 1 | f_{\sigma} | 1' \rangle \langle 2' | f_{\sigma}^* | 2 \rangle \quad (2.5a)$$

$$\langle 12' | G^{(4)} | 21' \rangle = -\frac{1}{2} \alpha \sum_{\mu} \langle 1 | q_{\mu} | 1' \rangle \langle 2' | q_{\mu}^* | 2 \rangle \quad (2.5b)$$

Для квадрупольного взаимодействия нужно ограничиться в (2.5b) пятью членами, отождествив  $q_{\mu}$  с одночастичным квадрупольным моментом. Обычное спаривание получается из (2.5a) при сохранении лишь одного члена с  $f_{\sigma} = 1$ . Однако для калибровочно-инвариантного взаимодействия мы обязаны сохранить в (2.5a) весь ряд, считая  $f_{\sigma}$  функциями пространственных координат и ортонормированных условием

$$G_0 \sum_{vv'} \frac{E_{vv'}}{4E_v E_{v'}} f_{\sigma}(vv') f_{\rho}(vv') = \delta_{\sigma\rho} \quad (2.6)$$

Первый член ряда (2.5a) с  $\sigma=1$ , мы отождествим с обычным спариванием, положив  $f_{\sigma}=1$  (для  $f_{\sigma}=f_{\rho}=1$  (2.6) переходит в уравнение для параметра спаривания  $\Delta$ ). Соотношение (2.6) эквивалентно пространственной нормировке

$$\int d\vec{r} \rho(\vec{r}) f_{\sigma}(\vec{r}) f_{\rho}^*(\vec{r}) = \delta_{\sigma\rho} \quad , \text{ где} \quad (2.6a)$$

$$\rho(\vec{r}) = \sum_{\nu} \frac{G_{\nu}}{2E_{\nu}} |\psi_{\nu}(\vec{r})|^2$$

В модели ядра с резким краем потенциала,  $\rho(\vec{r})$  можно считать постоянной внутри ядра (пропорциональной ядерной плотности). Взаимодействие в канале частица-дырка мы будем считать одинаковым для любых пар нуклонов ( $nn$ ;  $pp$ ;  $np$ ), спариванием же нейтронов с протонами будем пренебрегать, учи-

х) В канале частица-дырка мы учитываем лишь взаимодействие  $G^{(4)}$ , представимое в виде (2.5b)  $T$ -четных сомножителей. Величина  $G^{(4)}$ , являющаяся аналогом спин-спинового взаимодействия значительно меньше и для простоты ниже не учитывается.

тывая его лишь для пар нейтронов и протонов (с константами  $G_a = G_n G_p$ , соответственно).

После подстановки (2.5) в (2.1) получим систему алгебраических уравнений для величин  $x$

$$K_{a,\sigma}^{(\pm)} = i G_a \sum_{22'} f_{\sigma}^*(22') \xi_{22'}^{(\pm)} Z^{(\pm)}(22') \quad (2.7a)$$

$$Q_{\mu} = i \alpha \sum_{22'} q_{\mu}^*(22') \eta_{22'}^{(\pm)} Z^{(\pm)}(22') \quad (2.7b)$$

После простых преобразований с использованием (2.6) и явных выражений для  $\xi_{22'}^{(\pm)}$   $\eta_{22'}^{(\pm)}$  через  $\Delta$ ,  $E_v$  и  $E_{v'}$  система приводится к виду (ср. вывод 1.3.11).

$$\begin{aligned} & \{g_a[f_{\sigma}f_{\rho}] + (4\Delta_0^2 - \omega^2)h_a[f_{\sigma}f_{\rho}]\} K_{a\rho}^{(+)} + \omega r_a[f_{\sigma}f_{\rho}] K_{a\rho}^{(-)} - \\ & - f_a[f_{\sigma}q_{\lambda}] Q_{\lambda} = L_{a\sigma}^{(+)} \quad \omega r_a[f_{\sigma}f_{\rho}] K_{a\rho}^{(+)} + \{g_a[f_{\sigma}f_{\rho}] - \\ & - \omega^2 h_a[f_{\sigma}f_{\rho}]\} K_{a\rho}^{(-)} + 2\Delta_0 \omega h_a[f_{\sigma}q_{\lambda}] Q_{\lambda} = L_{a\sigma}^{(-)} \end{aligned}$$

$$\sum_{a=nr} \{-f_a[f_{\sigma}f_{\rho}] K_{a\rho}^{(+)} + 2\Delta_0 h_a[f_{\sigma}f_{\rho}] K_{a\rho}^{(-)}\} + \left(\frac{\partial \mu_{\lambda}}{\partial x} - W[f_{\sigma}q_{\lambda}]\right) Q_{\lambda} = P_{\mu} \quad (2.8)$$

где по дважды повторяющимся индексам  $\rho$  и  $\lambda$  подразумевается суммирование, а для сумм по одночастичным состояниям введены обозначения

$$g_a[f_{\sigma}f_{\rho}] = \sum_{vv'} \frac{E_{vv'}}{4E_v E_{v'}} \frac{(E_v - E_{v'})^2}{(E_{vv'}^2 - \omega^2)} f_{\sigma}^*(vv') f_{\rho}(vv') \quad (a)$$

х) Верхний индекс  $a = nr$  у суммы означает суммирование только по одному сорту нуклонов. Суммы без индексов распространяются как по нейтронным, так и протонным состояниям.

$$h_a[f_s f_p] = \sum_{\nu\nu'} \frac{E_{\nu\nu'}}{4E_\nu E_{\nu'}} \frac{f_s^*(\nu\nu') f_p(\nu\nu')}{(E_{\nu\nu'}^2 - \omega^2)} \quad (b)$$

$$W[q_\mu q_\lambda] = \sum_{\nu\nu'} \frac{E_{\nu\nu'} (E_\nu E_{\nu'} - E_\nu E_{\nu'} + \Delta^2)}{2E_\nu E_{\nu'} (E_{\nu\nu'}^2 - \omega^2)} q_\mu^*(\nu\nu') q_\lambda(\nu\nu') \quad (c)$$

$$h_a[f_s f_p] = \sum_{\nu\nu'} \frac{E_\nu E_{\nu'} + E_{\nu'} E_\nu}{2E_\nu E_{\nu'} (E_{\nu\nu'}^2 - \omega^2)} f_s^*(\nu\nu') f_p(\nu\nu') \quad (d)$$

$$s_a[q_\mu f_p] = 2\Delta_a \sum_{\nu\nu'} \frac{E_{\nu\nu'} (E_\nu + E_{\nu'})}{4E_\nu E_{\nu'} (E_{\nu\nu'}^2 - \omega^2)} q_\mu^*(\nu\nu') f_p(\nu\nu') \quad (e)$$

Правая часть (2.8)

$$L_{q,s}^{(\pm)} = i \sum_{22'} \frac{\sum_{22'}^{(\pm)} f_s^*(22')}{E_{22'}^2 - \omega^2} (E_{22'} \phi_{22'}^{(\pm)} - \omega \phi_{22'}^{(\mp)}) \quad (2.9a)$$

$$P_\mu = i \sum_{22'} \frac{\eta_{22'}^{(\pm)} q_\mu^*(22')}{E_{22'}^2 - \omega^2} (E_{22'} \phi_{22'}^{(\pm)} - \omega \phi_{22'}^{(\mp)})$$

может быть выражена через суммы, аналогичные (2.9), но содержащие матричные элементы от внешнего поля.

Для  $T$ -четного поля, сохраняющего число частиц ( $V^{(H)}$ ) имеем

$$L_{q,s}^{(+)} = -s_a[f_s V^{(H)}] \quad L_{q,s}^{(-)} = 2\Delta_a \omega h_a[f_s V^{(H)}] \quad (2.10)$$

$$P_\mu = -W[q_\mu V^{(H)}]$$

Поле, не сохраняющее число частиц ( $\bar{V}^{(\pm)}$ ) удобно представить в виде разложения по функциям  $f_s$

$$\bar{V}_a^{(\pm)} = \sum_s \bar{V}_{a,s}^{(\pm)} f_s$$

Тогда правую часть (2.8) можно привести к виду

$$L_{q,s}^{(+)} = \frac{\bar{V}_{q,s}^{(+)}}{G_a} - g_a [f_s \bar{V}^{(H)}] - (4\Delta_a^2 - \omega^2) h_a [f_s \bar{V}^{(H)}]$$

$$+ \omega r_a [f_s \bar{V}^{(H)}] \quad L_{q,s}^{(-)} = -\frac{\bar{V}_{q,s}^{(-)}}{G_a} + g_a [f_s \bar{V}^{(H)}] - \quad (2.11)$$

$$- \omega^2 h_a [f_s \bar{V}^{(H)}] - \omega r_a [f_s \bar{V}^{(H)}]$$

$$P_\mu = \sum_q \{ s_a [q_\mu \bar{V}^{(H)}] + 2\Delta_a \omega h_a [q_\mu \bar{V}^{(H)}] \}$$

Вероятности переходов (2.3) непосредственно выражаются через решение системы (2.8) (ср. 1.3.9)

$$|(0|V|\omega_n)|^2 = \left[ \frac{\omega_n^2 - \omega^2}{\omega_n} \left\{ \sum_q (K_{op}^{(H)} L_{op}^{*} + K_{op}^{(-)} L_{op}^{*} + \right. \right. \\ \left. \left. + q_\lambda R_\lambda^* \right\} \right] \omega^2 = \omega_n^2 \quad (2.12)$$

### 3. Анализ и упрощение основных уравнений

Если полностью пренебречь интерференцией  $q_\mu$  и  $f_s$ , т.е. считать  $h[qf] = s[qf] = 0$ , то система (2.8) распадается на две независимые части.

$$\begin{cases} (g + (4\Delta_a^2 - \omega^2)h) K^{(+)} + \omega r K^{(-)} = L^{(+)} \\ \omega r K^{(+)} + (g - \omega^2 h) K^{(-)} = L^{(-)} \end{cases} \quad (3.1)$$

$$\left(\frac{\partial \mu_\lambda}{\partial x} - W_{\mu\lambda}\right) Q_\lambda = P_\mu \quad (3.2)$$

Система (3.1) описывает когерентные флуктуации спаривания /4/, отдельно для нейтронов и протонов, а (3.2) - квадрупольные  $\gamma$  и  $\beta$ -колебания. Нас будут интересовать возбуждения с моментом и четностью  $0^+$ . При этом мы можем ограничиться в (2.9) лишь компонентой  $q_0$ . В качестве  $f_0$  наряду со сферически симметричными функциями  $f(r^2)$  (дающими основной вклад в когерентные флуктуации спаривания /4/) мы должны учесть также  $f_0 \sim q_0$ . Располагая  $f_0$  в порядке увеличения числа узлов внутри ядра, можно положить

$$f_0 = 1 \quad f_1 \equiv f = r^2 - \bar{r}^2 / \sqrt{\bar{r}^2 - (\bar{r}^2)^2} \quad (3.3)$$

$$f_{1'} = q_0 / \sqrt{q_0^2} \equiv k q_0$$

т.к. именно эти члены максимально интерферируют с  $\beta$ -колебаниями. Для подобных функций отличны от нуля матричные элементы двух типов: либо диагональные, либо между достаточно удаленными состояниями (с разностью энергий порядка

$E_F A^{-1/3} \gg \Delta$ ), причём величина матричных элементов для всех переходов одного порядка.

Все суммы в (2.9) можно разбить на три типа. В сумму для  $g_2$  дают вклад только далекие недиагональные переходы, поэтому для интересующих нас низкоэнергетических возбуждений ( $\omega \lesssim 2\Delta$ ) в этой сумме можно пренебречь  $\omega^2$ . Кроме того, суммирование здесь происходит по широкому интервалу, и матричные элементы от различных функций  $f_0 f_0$  в среднем погашают друг друга. Поэтому можно считать, что  $g_2[f_0 f_0] \sim \delta_{00}$ . В остальные суммы (2.9) основной вклад дают диагональные переходы, т.к. множители при матричных элементах быстро спадают при удалении от поверхности Ферми. Таким образом, приближенно можно считать

$$g_0[f_0 f_0] \approx \delta_{00} \sum_{\nu\nu'} \frac{(E_\nu - E_{\nu'})^2}{4 E_\nu E_{\nu'}} |f_0(\nu\nu')|^2 \quad (a)$$

$$h_0[f_0 f_0] \approx \sum_{\nu} \frac{f_0(\nu\nu) f_0(\nu\nu)}{E_\nu (E_\nu^2 - \omega^2)} \quad (b)$$

$$n_0[f_0 f_0] \approx \sum_{\nu} \frac{2 E_\nu}{E_\nu (E_\nu^2 - \omega^2)} f_0(\nu\nu) f_0(\nu\nu) \quad (c)$$

$$W[q_\mu q_\lambda] \approx \sum_{\nu} 4 \Delta^2 h_0[q_\mu q_\lambda] \quad g_2[q_\mu f_0] \approx 2 \Delta_0 n_0[q_\mu f_0] \quad (d)$$

В этом приближении задача сводится к вычислению трех различных сумм. Рассмотрим последовательно каждую из них.

Вычисление  $g_0$ . Легко установить неравенство  $0 \leq G_0 g_0 \leq 1$  /4/. Действительно, заменим в (3.4a) величину  $(E_\nu - E_{\nu'})^2$  на  $E_{\nu\nu'}^2$ , (при этом завышается вклад переходов между состояниями, лежащими по одну сторону границы Ферми). После этого сумма будет отличаться от (2.6) только отсутствием диагональных членов. В результате

$$G_0 g_0^2 \leq 1 - G_0 \sum_{\nu} \frac{1}{2 E_\nu} |f_0(\nu\nu)|^2 \equiv 1 - \bar{f}_{00}^2 \quad (3.5)$$

где  $\bar{f}_{00}^2$  имеет смысл среднего квадрата диагональных матричных элементов. Более детальный анализ показывает, что  $G_0 g_0^2$  не зависит от изотопического индекса (а) и практически совпадает с верхней границей неравенства (3.5). Для практического вычисления  $g_0$  по формуле (3.5) следует использовать одночастичную модель с резким краем, т.к. выбор функции (3.3) соответствует именно этому случаю (см. 2.6a). Другие суммы не чувствительны к такому согласованию.

Вычисление  $h_0$ . Весовой множитель  $1/E_\nu (E_\nu^2 - \omega^2)$  имеет максимум у поверхности Ферми ( $E_\nu \rightarrow 0$ ) с шириной

порядка  $2\Delta$ , а затем быстро спадает при удалении от Ферми-границы. Второй множитель под знаком суммы - произведение матричных элементов - вообще говоря, резко меняется от состояния к состоянию. Но если произвести усреднение  $f_s f_p$  на ширине порядка  $\Delta$  (т.е. в деформированных ядрах по 3-5 уровням), то результат уже будет слабо зависеть от энергии. Естественно поэтому вынести из-под знака суммы усредненную на ширине  $\sim \Delta$  величину  $f_s f_p$ , а оставшуюся сумму заменить интегралом по  $E_v$ .

В результате (ср. 1.4.2):

$$h_c[f_s f_p] \approx \sum_v \frac{f_s(\omega) f_p(\omega)}{E_v (E_v^2 - \omega^2)} \approx \frac{\rho_c}{2\Delta} \overline{f_s f_p} f\left(\frac{\omega}{2\Delta}\right) \quad (3.6)$$

Здесь  $\rho_c$  - плотность уровней у поверхности Ферми, а функция  $f(x)$  при  $x^2 < 1$  равна

$$f(x) = \frac{\arcsin x}{x\sqrt{1-x^2}} = 1 + \frac{2}{3}x^2 + \frac{8}{15}x^4 + \dots \quad (3.7)$$

В приведенных выше аргументах существенно, чтобы в сумму давали заметный вклад несколько уровней. Это условие нарушается, когда  $\omega$  приближается к  $\text{min } E_v$ , т.е. к порогу двухквазичастичных возбуждений. В этом случае основной вклад во все суммы (3.4) даёт один уровень и состояние фактически не является коллективным.

Вычисление  $\rho_c$ . В отличие от  $h_c$ , сумма для  $\rho_c$  содержит множитель  $E_v$ , меняющий знак на границе Ферми  $E_F$ . Поэтому при полной симметрии относительно  $E_F$  остальных множителей  $\rho_c$  обращается в нуль. В реальных случаях  $\rho_c$  оказывается, как правило, очень малым. Для оценки аналогично (3.6) можно записать

$$\rho_c[f_s f_p] \approx \sum_v \frac{2|E_v|}{E_v (E_v^2 - \omega^2)} \frac{E_v}{|E_v|} f_s(\omega) f_p(\omega) \quad (3.8)$$

$$\approx \frac{\rho_c}{2\omega} \ln \left| \frac{1 + \frac{\omega}{2\Delta}}{1 - \frac{\omega}{2\Delta}} \right| \overline{\frac{E}{|E|} f_s f_p}$$

Здесь, в отличие от (3.6), весовой множитель обращается в нуль на границе Ферми. Поэтому в среднем значение вклад дают уровни не на Ферми-поверхности, а отстоящие от неё на расстоянии  $\sim \Delta$ .

Существенной особенностью приближений (3.6) и (3.8) является представление  $h_c$  и  $\rho_c$  в виде произведения универсальной функции частоты на независящее от  $\omega$  среднее от матричных элементов. Справедливость этого приближения иллюстрируется на рис.1, где отложены как функции  $\omega^2$  отношения значений суммы для  $h$ , вычисленных прямым методом к функции  $f(\omega/2\Delta)$ . При справедливости (3.6) эти отношения должны быть постоянными, и как видно из графиков, это хорошо выполняется везде, кроме узкой, "неколлективной" области<sup>x)</sup>.

Средние значения  $\overline{f_s f_p}$ , входящие в  $h_c$  и  $\rho_c$  мало чувствительны к конкретному выбору весового множителя. Результаты их вычислений представлены на рис.2.

Как видно из графиков, перекрестные и знакопеременные средние, как правило, малы<sup>xx)</sup>. Выделяются лишь  $(T)^2/T^2$   $(q^2/E)^2/(q^2)^2$ , достигающие в некоторых случаях величины 0.5. Как было указано выше, средние  $\overline{f_s f_p}$  определяются

величиной нескольких матричных элементов, по состояниям, лежащим у границы Ферми данного ядра. Рисунок (3), по оси абсцисс которого отложены одночастичные энергии протонов, а по оси ор-

x) Несправедливость приближения (3.6) при  $\omega \rightarrow 2\Delta$  объясняется тем, что сумма имеет в этой точке полюс, а  $f(\omega/2\Delta)$  только корневую особенность. Для правильного описания области  $\omega \sim 2\Delta$  можно выделить ближайший двухквазичастичный полюс в явном виде, после чего оставшуюся сумму можно вычислять квазиклассическим способом.

xx) Оценки показывают, что для функций с большим числом узлов, аналогичные средние оказываются еще меньше. Это оправдывает ограничение в (3.3) только выписанными функциями.



динат - значения соответствующих им матричных элементов, доказывает это утверждение.

Приведенные оценки обосновывают следующую иерархию последовательных приближений.

В нулевом приближении следует учесть только члены с  $\bar{f}^2$  и  $\bar{q}^2 (= \bar{f}^2 q/k)$ . При этом уравнения для монополярных флуктуаций спаривания (члены с  $\bar{f}^2$  и  $\bar{f}_0^2 = 1$ ) отделяются, а  $\beta$ -колебания описываются системой связанных уравнений для  $Q$  и  $K_{a1}^{(e)}$ ,

и  $(Q)^2$ , а также и другие малые члены. Заметим, что в обычной модели "спаривание + квадрупольное взаимодействие" искажение уравнения (3.2) для  $\beta$ -колебаний связывают с влиянием "духового состояния", т.е. с перекрестными членами вида  $\frac{q \cdot 1}{\tau e 1} q \cdot 1$ . Как видно из графиков (рис.2), эти члены мало существенны, особенно по сравнению с основной связью  $\beta$ -колебаний с квадрупольными флуктуациями спаривания ( $Q$  и  $K_{a1}^{(e)}$ ). Уравнения нулевого приближения для квадрупольных возбуждений в (2.8) принимают вид

$$k^2(g_0 - \omega^2 h_0) K_c^{(e)} + 2\Delta_c k \omega h_c \cdot Q = L_a^{(e)} \quad (3.9)$$

$$\sum_a 2\Delta_c \omega k h_c K_c^{(e)} + \left(\frac{1}{\alpha} - \sum_a 4\Delta_c^2 h_c\right) Q = P$$

где для сокращения положено  $g_c \equiv g_a [q^2]$ ,  $h_c \equiv h_a [q^2]$  и опущены очевидные индексы у  $K_{a1}^{(e)}$ ,  $L_{a1}^{(e)}$ ,  $Q_0$ ,  $P_0$ .

Решение этой системы трех уравнений довольно громоздко для аналитического исследования. Поэтому мы предварительно рассмотрим задачу для одного сорта нуклонов.

#### 4. Связь $\beta$ -колебаний с квадрупольными флуктуациями спаривания. Один сорт нуклонов

Для частиц одного сорта уравнения (3.9) после простых преобразований с учетом (3.6) приводятся к виду

$$(b - x^2 \gamma(x)) K^{(e)} + x \gamma(x) \frac{Q}{k} = \frac{L^{(e)}}{k^2 \rho q^2} \equiv l^{(e)} \quad (4.1)$$

$$x \gamma(x) K^{(e)} + (a - \gamma(x)) \frac{Q}{k} = \frac{P}{k \rho q^2} \equiv p$$

где

$$a = (\alpha \rho q^2)^{-1} \quad b = g(\rho q^2)^{-1} \quad x = \omega/2\Delta \quad (4.2)$$

Энергия колебаний определяется из уравнений для  $X$

$$(a - \gamma(x))(b - x^2 \gamma(x)) - x^2 \gamma^2(x) = 0 \quad (4.3)$$

Если отбросить последний член, то дисперсионное уравнение даёт два независимых корня, соответствующих решениям

$$\gamma(x) = a \quad x^2 \gamma(x) = b \quad (4.4)$$

Величины  $1/a$  и  $1/b$  характеризуют интенсивность соответственно квадрупольного и спаривательного взаимодействия. (Напомним, что согласно (3.5) величина  $g = \frac{c}{c}$   $0 < c < 1$ ). Функция  $\gamma(x)$  (3.6) монотонно возрастает от 1 до  $\infty$  при изменении  $X$  в пределах  $0 \leq X \leq 1$ . Поэтому первое из уравнений (4.4), описывающее  $\beta$ -колебания, имеет решение лишь при  $a > 1$ . Решение второго уравнения (для квадрупольных флуктуаций спаривания) существует всегда. (На рис.(4) приведена зависимость  $\gamma(x)$  и  $x^2 \gamma(x)$ ). Однако последний член в (4.3) отнюдь не мал, и уравнение (4.3), в отличие от (4.4) имеет только одно решение

$$\frac{1}{f(x)} = \frac{1}{a} \left(1 + \frac{q}{b} x^2\right) \equiv \frac{1}{a} + \frac{x^2}{b} \quad (4.5)$$

промежуточное между двумя решениями (4.4) и совпадающее с последними лишь в предельных случаях ( $1/a \rightarrow 0$   $1/b \rightarrow 0$ ).

Отличие (4.5) от чистых  $\beta$ -колебаний можно представить как результат перенормировки квадрупольного взаимодействия

$$f(\omega/2\Delta) = \frac{\alpha}{\alpha'} a, \quad \text{где} \quad (4.6)$$

$$\alpha'(\omega) = \alpha \left[1 + \frac{q}{b} \left(\frac{\omega}{2\Delta}\right)^2\right] \quad (4.6a)$$

Найдя решение системы (4.1) с правой частью (2.10) и подставляя его в (2.12), найдем вероятность электромагнитных  $EL$ -переходов в основное состояние

$$|(0|V^{(H)}|\omega)|^2 = 4\rho\Delta \frac{|qV^{(H)}|^2}{q^2} F^2\left(\frac{\omega}{2\Delta}; \frac{\alpha}{\alpha'}\right) \quad (4.7)$$

где

$$F^2(x; \frac{\alpha}{\alpha'}) = \frac{x(1-x^2)f^2(x)}{[1+(2x^2-1)f(x)]\frac{\alpha}{\alpha'} + (1+f(x))(1-\frac{\alpha}{\alpha'})} \quad (4.7a)$$

Для определения структуры возбужденного состояния (фона) следует использовать решение системы (4.1) с общим выражением (2.8a) для правой части. Это решение является линейной функцией величин  $\phi_{\nu i}^{(H)}$ . После подстановки его в (2.12) правая часть этого равенства приводится к квадрату модуля некоторой линейной комбинации  $\phi_{\nu i}^{(H)}$ . Сравнивая последнюю с (2.4a), найдем коэффициенты разложения (2.4) фона по двухквартичным операторам. Элементарные вычисления дают

$$A_{\nu\nu}^{(H)} + A_{\nu\nu}^{(G)} = \sqrt{\frac{\Delta}{\rho q^2}} \frac{F\left(\frac{\omega}{2\Delta}; \frac{\alpha}{\alpha'}\right)}{f(\omega/2\Delta)} \frac{q^*(\nu i)}{E_{\nu\nu} - \omega} \left[ \frac{\alpha}{\alpha'} \eta_{\nu i}^{(H)} + \left(1 - \frac{\alpha}{\alpha'}\right) \frac{2\Delta}{\omega} \xi_{\nu i}^{(G)} \right]$$

$$A_{\nu\nu}^{(H)} - A_{\nu\nu}^{(G)} = \sqrt{\frac{\Delta}{\rho q^2}} \frac{F\left(\frac{\omega}{2\Delta}; \frac{\alpha}{\alpha'}\right)}{f(\omega/2\Delta)} \frac{q^*(\nu i)}{E_{\nu\nu} + \omega} \left[ \frac{\alpha}{\alpha'} \eta_{\nu i}^{(H)} - \left(1 - \frac{\alpha}{\alpha'}\right) \frac{2\Delta}{\omega} \xi_{\nu i}^{(G)} \right] \quad (4.8)$$

Обсудим отличие полученных результатов от случая чистых  $\beta$ -колебаний, формальный переход к которому осуществляется в пределе  $a/v \rightarrow 0$ , т.е.  $\alpha/\alpha' \rightarrow 1$ . Параметр  $a/v = 1/\alpha q$  практически не меняется от ядра к ядру и для обычно принимаемых параметров имеет величину

$$a/v = 1/\alpha q \approx 0.6$$

Таким образом  $\alpha'/\alpha$  меняется в пределах 1 - 1,6 при изменении  $\omega/2\Delta$  от нуля до единицы. Именно такие изменения константы  $\alpha$  от ядра к ядру необходимы для совпадения экспериментальных значений энергий нижайших  $0^+$  состояний и вычисленных в обычной модели  $\beta$ -колебаний [6]. Интерференция  $\beta$ -колебаний и флуктуаций спаривания существенно влияет и на вероятности электромагнитных переходов. На рис. (5) представлена зависимость универсальной функции  $F^2\left(\frac{\omega}{2\Delta}; \frac{\alpha}{\alpha'}\right)$

от энергии коллективного состояния  $\omega$  для трех значений параметра  $a/v$ , причём верхняя и нижняя кривые отвечают чистым  $\beta$ -колебаниям и флуктуациям спаривания соответственно. Промежуточному случаю  $a/v = 0,6$  соответствует средняя кривая. Отметим нетривиальную зависимость функции  $F^2$  от перенормировки  $\alpha$ . Несмотря на увеличение эффективной константы ( $\alpha' \gg \alpha$ ) и соответствующее понижение энергии фона

$\omega$ , вероятности переходов уменьшаются. В стандартной модели  $\beta$ -колебаний понижение  $\omega$  приводит к усилению  $EL$ -переходов, что приводит к невозможности одновременного согласования  $B(E2)$  и  $\omega$  [2].

### 5. Два сорта нуклонов

Если все характеристики нейтронной и протонной подсистем одинаковы, то после введения суммарной величины  $\sum K_i^H$  система уравнений (3.8) сводится к виду (4.1), причём в ка-

чество параметров взаимодействия следует понимать  $a = \frac{Q_n}{2} = \frac{Q_p}{2}$   
 $v = v_n = v_p$ ;  $f = 2g_n = 2g_p$ . Реальное отличие спаривания для нейтронов и протонов мало и для простоты мы будем полагать  $\Delta_n = \Delta_p = \Delta$  (x).

Введем усредненные характеристики

$$\frac{1}{v} = \frac{1}{v_n} + \frac{1}{v_p} = \alpha(\rho\bar{q}^2)_n + \alpha(\rho\bar{q}^2)_p \equiv \alpha\rho\bar{q}^2 \quad (5.1)$$

$$\frac{2}{v} = \frac{1}{v_n} + \frac{1}{v_p} = \frac{(\rho\bar{q}^2)_n}{g_n} + \frac{(\rho\bar{q}^2)_p}{g_p} \equiv \frac{2}{f}\rho\bar{q}^2; f = g_n + g_p = 2g_n$$

Различие характеристик  $n$  и  $p$  удобно описывать величинами

$$\delta = \frac{(\rho\bar{q}^2)_n - (\rho\bar{q}^2)_p}{(\rho\bar{q}^2)_n + (\rho\bar{q}^2)_p} \quad \varepsilon = \frac{1}{2} \left( \sqrt{1 + 4\delta^2 \frac{v}{f} x^2 (1 + \frac{v}{f} x^2)} - 1 \right) \quad (5.2)$$

Вместо системы (4.1) аналогичным образом получим

$$(v - x^2\gamma - \delta x^2\gamma)K_n^{(e)} + (v + \delta)x\gamma Q/k = \frac{2L_n^{(e)}}{k^2\rho\bar{q}^2} \equiv l_n^{(e)}$$

$$(v - x^2\gamma + \delta x^2\gamma)K_p^{(e)} + (v - \delta)x\gamma Q/k = \frac{2L_p^{(e)}}{k^2\rho\bar{q}^2} \equiv l_p^{(e)} \quad (5.3)$$

$$(v + \delta)x\gamma K_n^{(e)} + (v - \delta)x\gamma K_p^{(e)} + 2(v - \gamma)Q/k = \frac{2P}{k\rho\bar{q}^2} \equiv p$$

Из условия разрешимости однородной системы (5.3) находим два дисперсионных уравнения

$$\frac{1}{f(x)} = \frac{1}{\alpha} \left( 1 + \frac{v}{f} x^2 + \varepsilon \right) \equiv \frac{1}{\alpha} \frac{x'}{x} \left( 1 + \frac{x'}{x} \varepsilon \right) \quad (5.4)$$

x) Разница  $\Delta_n$  и  $\Delta_p$  становится существенной вблизи первого двухквaziчастичного полюса, где наше квазиклассическое приближение незаконно.

$$\frac{1}{f(x)} = \frac{x^2}{v} - \frac{\varepsilon}{\alpha} \quad (5.5)$$

Уравнение (5.4) есть аналог (4.5) для системы двух сортов нуклонов, уравнение (5.5) описывает новый тип колебаний. Различие нейтронных и протонных характеристик ( $\varepsilon \sim \delta^2 \neq 0$ ) приводит к дополнительной (по сравнению с (4.6)) "перенормировке" обычных  $\beta$ -колебаний. Перенормировочный множитель  $(1 + v/f \cdot x^2 + \varepsilon)$  в (5.4) сравнивался с экспериментальными данными [6] и получено хорошее согласие [7].

Вероятности переходов определяются билинейной комбинацией  $(K_n^{(e)} L_n^{(e)} + K_p^{(e)} L_p^{(e)} + QP^*)$  из решений и правых частей уравнения (5.3). Простые вычисления (x) дают согласно (2.12) для первой ветви (5.4)

$$|O|V|O\rangle|^2 = \frac{\Delta k^2}{\alpha^2} \left| \frac{F}{f} \sqrt{\frac{1+\varepsilon}{1+\frac{x'}{x}\varepsilon}} \left\{ \frac{x'}{x} p - \frac{1}{x} (1 - \frac{x'}{x}) (l_n^{(e)} + l_p^{(e)}) - \right. \right. \quad (5.6)$$

$$\left. - \frac{\delta}{1+\varepsilon} \left( \frac{x'}{x} - 1 \right) \frac{1}{x} (l_n^{(e)} - l_p^{(e)}) \right\} \right|^2$$

$$F^2(x; \frac{x'}{x}, \delta) = \frac{x(1-x^2)f^2(x)}{[1+(x^2-1)\gamma + 2\varepsilon(1+x^2\gamma)] \frac{x'}{x} + (v+\gamma)(1+2\varepsilon)(1-\frac{x'}{x})} \quad (5.7)$$

x) Приведение результата к полному квадрату можно провести в общем виде. Пусть  $a_{ik}y_k = b_i$  и  $y_i = A_{ik}v_k/D$  - система линейных уравнений и её решение. Заметим, что в случае, когда детерминант системы  $D = 0$  ( $\omega = \omega_0$  - полюс в решении  $y_i$ ) алгебраические дополнения  $A_{ik}$  обладают свойством  $A_{ik}A_{km} = A_{im}A_{ek}$ . Поэтому имеем, например

$$y_i v_i^* = D^{-1} A_{ik} v_i^* v_k = \frac{1}{D A_{33}} A_{i3} A_{3k} v_i^* v_k = \frac{|A_{3k} v_k|^2}{D A_{33}}$$

Рисунок 6 иллюстрирует зависимость функции (5.7) от  $X = \omega/2\Delta$  для различных значений параметра  $\delta$ . Из формул (5.6) и (5.7) легко найти выражение для вероятностей  $EL$  - переходов, вызываемых  $T$ -четным внешним полем  $V^{(4)}$ .

$$| \langle 0 | V^{(4)} | \omega \rangle |^2 = \frac{4\Delta}{\sum_q (\rho q^2)_q} \left[ \sum_q (\rho q V^{(4)})_q \right]^2 \frac{1+\epsilon}{1+\frac{\delta}{2}\epsilon} \left\{ 1 + \frac{\delta}{1+\epsilon} \left( \frac{x'}{x} - 1 \right) \frac{(\rho q V^{(4)})_n - (\rho q V^{(4)})_p}{(\rho q V^{(4)})_n + (\rho q V^{(4)})_p} \right\}^2 \quad (5.8)$$

Аналогичные вычисления для второй ветви (5.5) приводят к выражению

$$| \langle 0 | V^{(4)} | \omega \rangle |^2 = \frac{4\Delta}{\sum_q (\rho q^2)_q} \left[ \sum_q (\rho q V^{(4)})_q \right]^2 \frac{\epsilon}{1 - \frac{\delta}{2}(1+\epsilon)} \frac{xy^2(1-x^2)}{(1+y)(1+2\epsilon) - 2\epsilon y(1-x^2)\frac{\delta}{2}} \quad (5.9)$$

В пределе одинаковых свойств нейтронов и протонов ( $\delta \rightarrow 0$ ,  $\epsilon \rightarrow 0$ ) вероятность (5.8) переходит в (4.7).

Для второй ветви при этом находим

$$| \langle 0 | V^{(4)} | \omega \rangle |^2 \approx \frac{4\Delta}{\sum_q (\rho q^2)_q} \left[ (\rho q V^{(4)})_n - (\rho q V^{(4)})_p \right]^2 \frac{xy^2(1-x^2)}{1+y}$$

откуда видно, что эта ветвь соответствует "противофазным" относительным колебаниям протонов и нейтронов<sup>x)</sup>. Коэффициенты разложения фонона по двухквaziчастичным операторам могут быть найдены из (5.7), (5.4) и (2.4a) обычным образом.

x) Не следует смешивать эту ветвь с противофазными  $\beta$ -колебаниями, которые в нашем случае ( $x_{nn} = x_{pp} = x_{np}$ ) лежат на пороге двухквaziчастичных возбуждений. Для их формального описания следует кроме суммарного  $Q$  рассматривать  $Q_n - Q_p$ .

## 6. Обсуждение результатов

1. Флуктуации спаривания имеют истинно монопольную природу (в отличие от квадрупольных  $\beta$ -колебаний), поэтому наилучшим способом их возбуждений являются, по-видимому, реакции с передачей двух нуклонов (например,  $(t, p)$ ). Внешнее поле, вызывающее такую реакцию, имеет вид (2.2). К сожалению, вид коэффициентов  $V_{rr}$  может быть получен лишь при грубых приближениях. Для качественных оценок можно отвлечься от внутренней структуры, передаваемой в ядро нуклонной пары и считать, что пара как целое взаимодействует с поверхностью ядра  $/\theta/$ . В этом приближении оператор  $(t, p)$  - реакции представляется в виде<sup>x)</sup>

$$V(t, p) = \text{const} \sum_i a_i^\dagger a_i$$

Для простоты ограничимся моделью одного типа нуклонов. Тогда из уравнений раздела 2 легко найти относительную вероятность перехода ядра на возбужденные и основное состояние

$$\frac{|\langle \omega_f | V(t, p) | 0_i \rangle|^2}{|\langle 0_f | V(t, p) | 0_i \rangle|^2} = \frac{\frac{4}{\rho\Delta} \frac{1-x^2}{x[1+(2x^2-1)y]} \frac{(Q)^2}{q^2}}{\frac{4}{\rho\Delta} \frac{1-x^2}{x(1+y)} \frac{(F)^2}{f^2}} \quad \begin{matrix} (\beta\text{-колебания}) \\ (\text{флукт. спарив.}) \end{matrix}$$

(Эти формулы для простоты получены без учета интерференции между ветвями). В (6.1) как функции, зависящие от  $X = \omega/2\Delta$ , так и множитель  $4/\rho\Delta$ , порядка единицы. Поэтому, по отношению к переходам в основное состояние, вероятности перехода в возбужденное состояние при  $(t, p)$ -реакции, малы как  $(Q)^2/q^2$  или  $(F)^2/f^2$ . Эти величины довольно чувст-

x) Это грубое приближение допустимо для оценок полного сечения возбуждения, но не углового распределения протонов. Последнее очень чувствительно к выбору вида  $V(t, p)$ .

вительны к структуре уровней у поверхности Ферми (см.рис.2), что допускает простую качественную проверку теории из анализа данных ( $t, \rho$ ) - реакций для группы соседних ядер<sup>x</sup>). Имеющиеся, к сожалению немногочисленные экспериментальные данные не противоречат нашим оценкам /8/.

В разделе 3 было показано, что основной является связь  $\beta$ -колебаний с квадрупольными флуктуациями спаривания, а примесь других типов возбуждений, как правило, мала. Однако, в некоторых особых случаях (например, при рассмотрении сильно запрещенных переходов) пренебрежение ими может привести к заметным ошибкам. Так, для  $E0$ -переходов, интерференция монополюльных флуктуаций спаривания с  $\beta$ -колебаниями вносит вклад порядка единицы и её необходимо учитывать в нулевом приближении. В случае одного сорта частиц простые вычисления дают

$$|(0|V(E0)|\omega)|^2 = 4\rho\Delta \frac{|q_{r2}|^2}{q^2} \frac{x(1-x^2)y^2}{1+(2x^2-1)y} \left(\frac{b}{b-x^2y}\right)^2$$

где первый множитель есть вероятность  $E0$ -перехода для чистых  $\beta$ -колебаний, а последний описывает влияние флуктуаций спаривания. Поэтому  $E0$ -переход из  $\beta$ -колебаний в основное состояние возрастает в  $(b/(b-x^2y))^2$  раз.

Из рисунка 2 видно, что в некоторых ядрах велики средние типа  $q^2 \frac{E}{\hbar}$ , связывающие квадрупольные чарные и  $\beta$ -колебания. Из учёт приводит к дополнительной перенормировке  $\alpha$ . Энергия фонона и вероятности электромагнитных переходов при этом, как правило, уменьшаются.

К аналогичным качественным эффектам ведет учёт членов с линейными средними (в том числе членов с  $\bar{q}$ , обеспечивающих выделение нефизических состояний с  $\omega = 0$ ). Для  $\beta$ -колебаний константа  $\alpha$  переходит при этом в  $\alpha \left(1 - \frac{(\bar{q})^2}{q^2}\right)$ , а вероятность  $EL$  переходов перенормируется согласно

$$|(0|V^{(L)}|\omega)|^2 \rightarrow \left(1 - \frac{\bar{q}V^{(L)}}{qV^{(L)}}\right)^2 |(0|V^{(L)}|\omega)|^2$$

x) Сравнение спектроскопических факторов для одного ядра требует, безусловно, более совершенной и детальной теории.

## З а к л ю ч е н и е

В настоящей работе преследовалась двоякая цель. Одна из них - методическая: разработать способ аналитического исследования свойств коллективных возбуждений деформированных ядер. Оболочечная структура в деформированных ядрах достаточно размыта, чтобы допускать аппроксимацию величин, зависящих только от энергии уровней, плавными функциями. Однако с точки зрения квантовых чисел, одночастичные состояния в деформированных ядрах перемешаны еще слабо, поэтому матричные элементы сильно флуктуируют. Наш метод состоит в разделении плавных и флуктуирующих факторов. При этом оказывается возможным не только качественное исследование, но и получение относительно хороших количественных результатов.

Вторая цель работы - исследование связи  $\beta$ -колебаний с флуктуациями спаривания. Интерференция этих двух ветвей оказывается очень существенной и без её учёта не имеет смысла проведение количественных сравнений с экспериментом. Заметим, что флуктуации спаривания не единственная  $0^+$ -ветвь, интерферирующая с  $\beta$ -колебаниями. Заслуживают рассмотрения, в частности, спин-орбитальные вибрации /11/.

Неоднократно "чистые"  $\beta$ -колебания являлись объектом детальных численных расчётов, отличающихся друг от друга одночастичными функциями, выбором параметров, затраченным машинным временем и т.п. Здесь мы хотели показать, что нет смысла в трудо- и машиноёмких расчетах без качественного исследования различных физических факторов, главным образом - интерференции с другими коллективными ветвями.

Рис.1. Численные значения факторов  $|0|V^{(L)}|\omega)|^2$ . При  $\omega = 0$  факторы имеют значения  $1 - \frac{(\bar{q})^2}{q^2}$ . При  $\omega \neq 0$  факторы имеют значения  $1 - \frac{\bar{q}V^{(L)}}{qV^{(L)}}$ . При  $\omega = 0$  факторы имеют значения  $1 - \frac{(\bar{q})^2}{q^2}$ .

Л и т е р а т у р а

- / 1 / *Be's D.R. Nucl. Phys.* 49 196 (544)
- / 2 / Соловьев В.Г., *Nucl. Phys.* 69, 1965 (69),  
Фогель П., ЯФ, т.1, 1965 ( ).
- / 3 / Пятков Н.И. *Arkiv för fysik* в.36, 1967 (667).
- / 4 / Беляев С.Т. ЯФ т.4, 1966 (936).
- / 5 / *Belyaev S.T. Phys. Lett.* 28B, 1969 (365).
- / 6 / Железнова К.М., Пятков Н.И., Черней М.И., препринт  
ОИЯИ *E4-3025*, 1966 г.
- / 7 / Беляев С.Т., Румянцев Б.А. *Proc. of Tokyo Conf.*  
1967.
- / 8 / Натан О. в сборнике "Структура сложных ядер", 1966  
(158), Атомиздат.
- / 9 / *Yoshida S. Nucl. Phys.* 33, 1962 (685).
- / 10 / Железнова К.М., Корнейчук А.А., Соловьев В.Г.,  
Фогель П., Юнгклауссен, препринт ОИЯИ, Д-2157, 1965.
- / 11 / Беляев С.Т., Румянцев Б.А. *Phys. Lett* 30B,  
1969 (444).

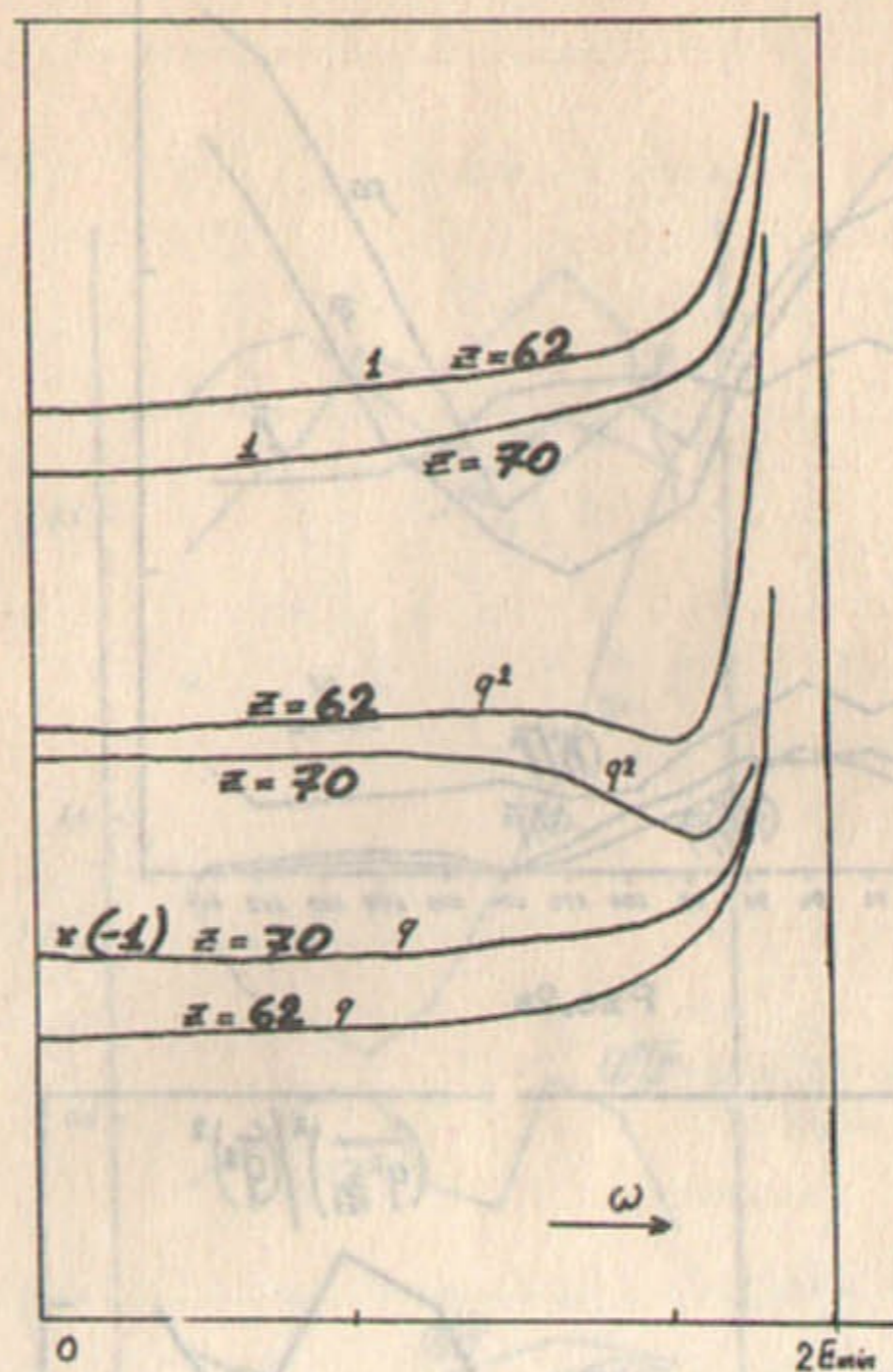


Рис.1. Численная проверка приближения (3.6). При его справедливости величина  $h_0[y] / \gamma(\omega/2\Delta)$ , отложенная по оси ординат в произвольных единицах, должна быть константой. Три пары кривых соответствуют  $y = 1, q^2, q$ , для числа протонов  $Z = 62$  и  $70$ .

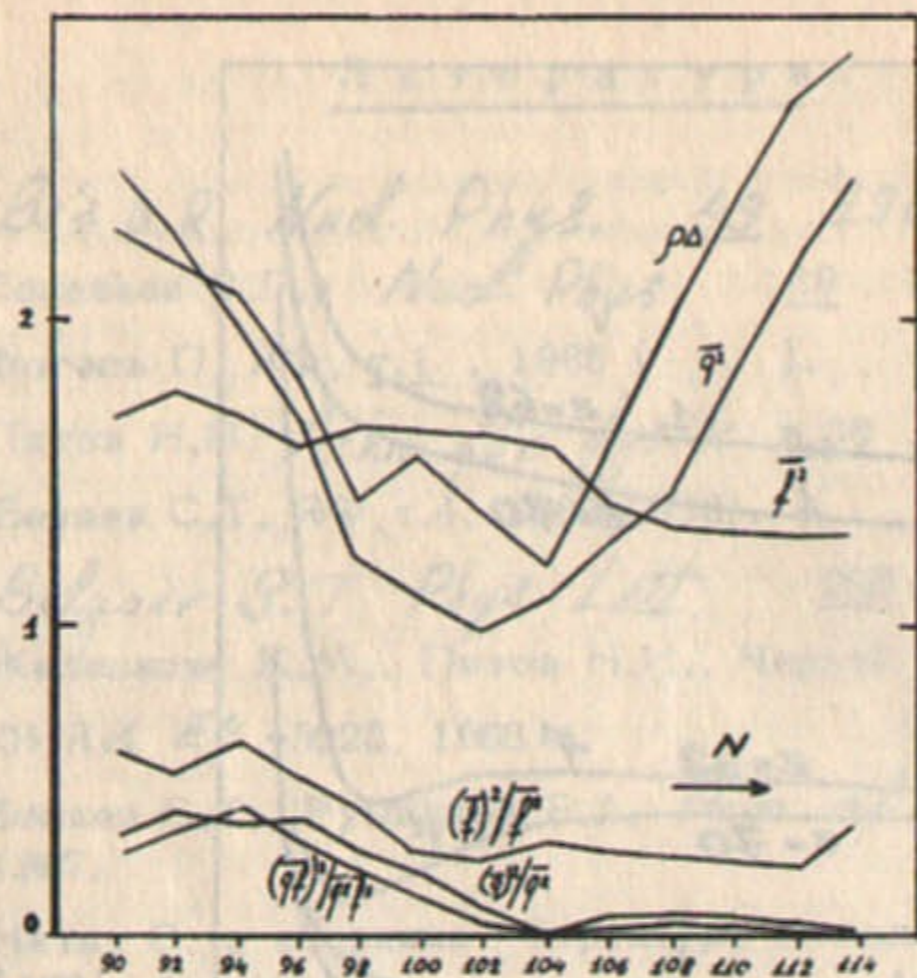


Рис.2а

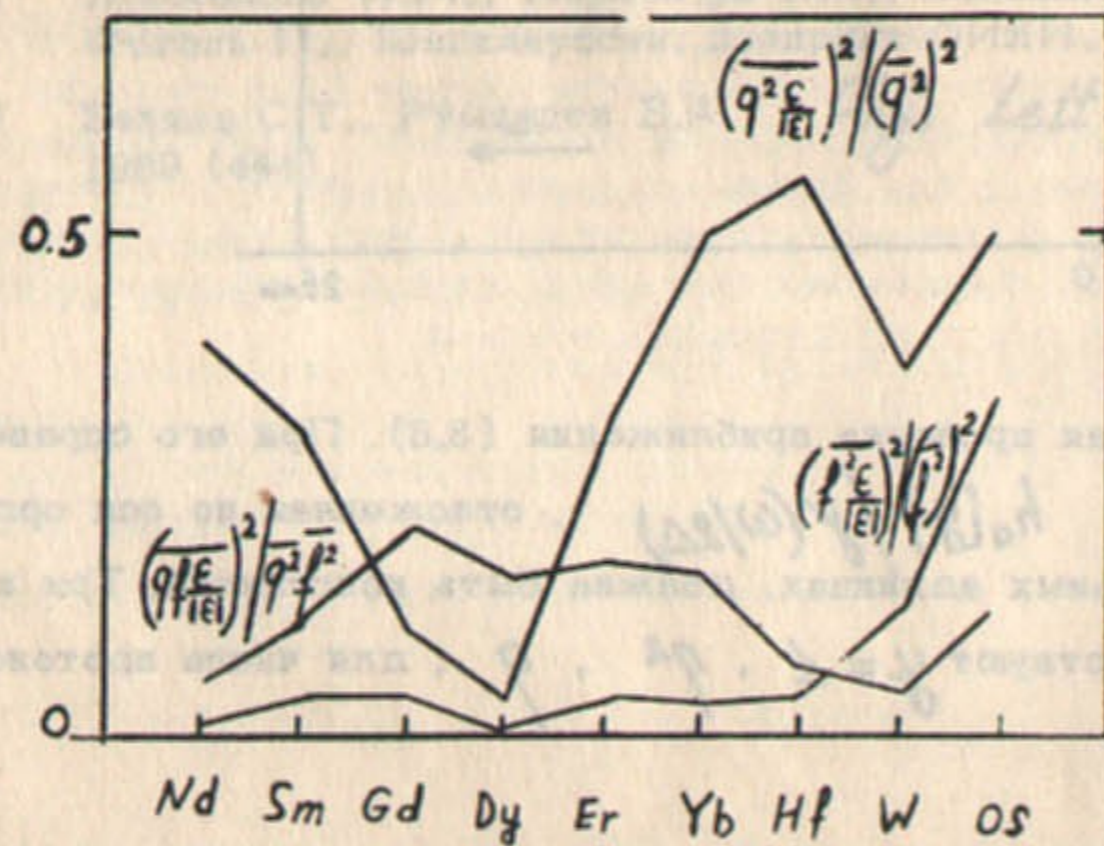


Рис.2б

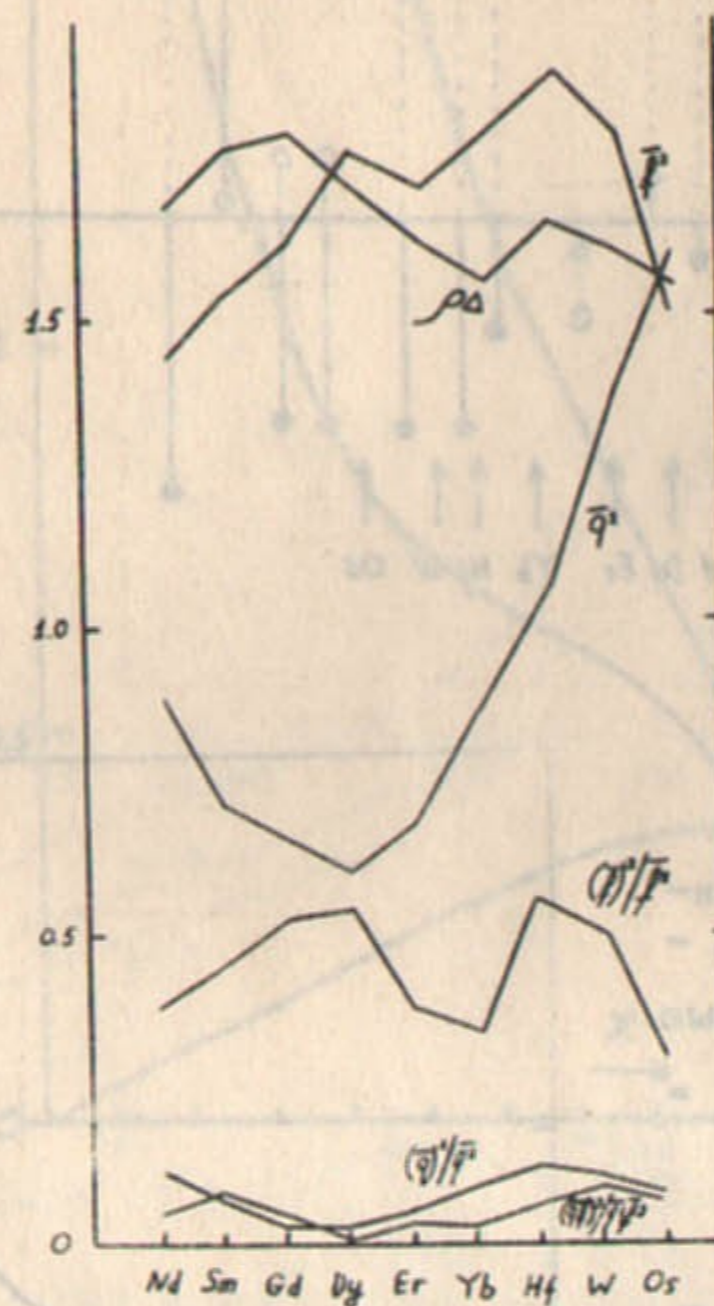


Рис.2. Усредненные с весовой функцией  $\rho_v = \frac{1}{\pi} \frac{\Delta}{E_v^2}$  квадраты нейтронных (а) и протонных (б, в) матричных элементов. Значения  $q_{vv}, E_v, \Delta, \lambda$  брались из [10]. Для  $r^2$  использовались квазиклассические матричные элементы в прямоугольной яме.

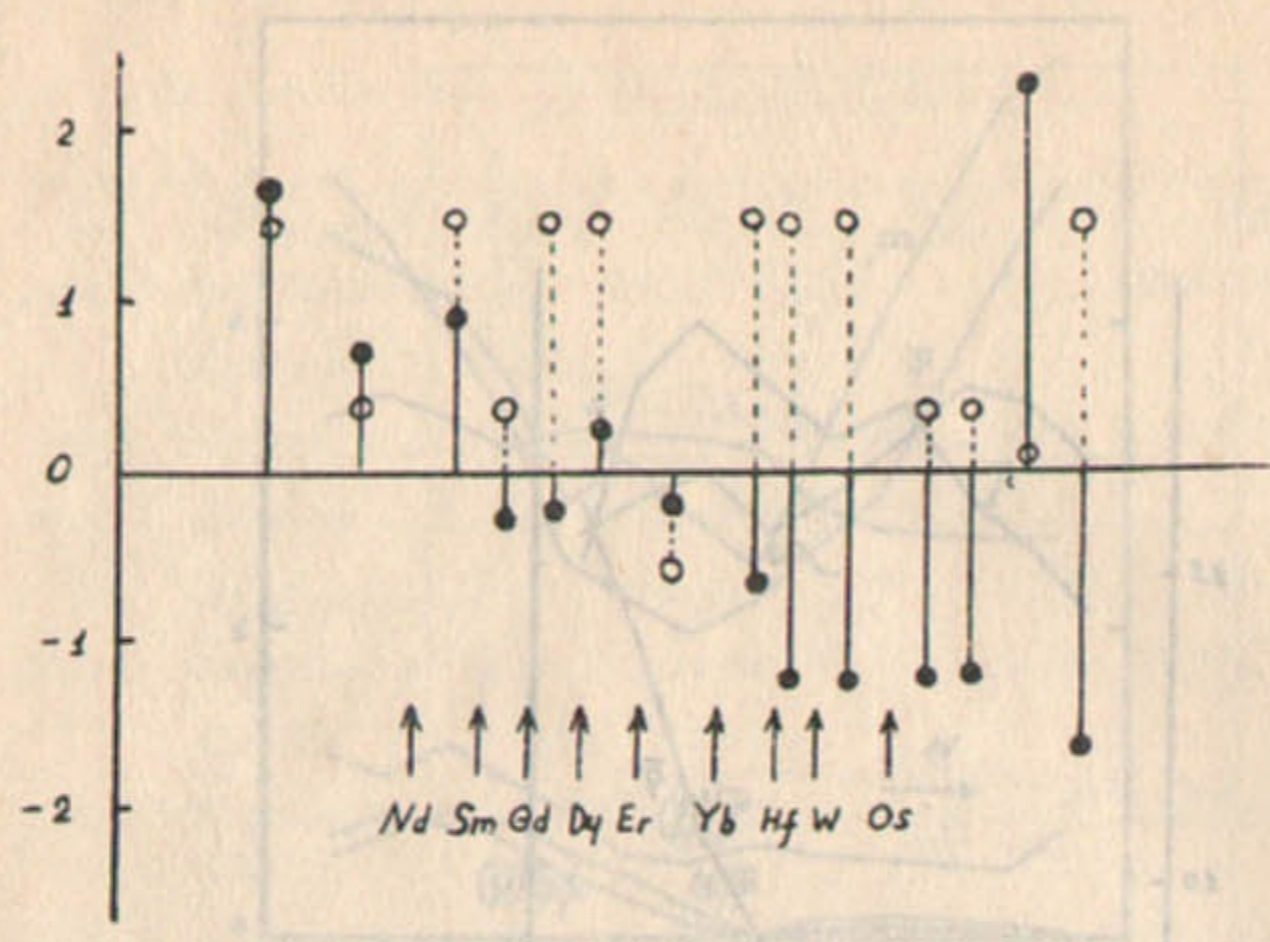


Рис.3. Величины протонных матричных элементов  $\langle v|q|v \rangle$  (черные кружки) и  $\langle v|f|v \rangle = \langle v|\frac{r^2 - \bar{r}^2}{[r^4 - (\bar{r}^2)^2]^{1/2}}|v \rangle$  (белые кружки) как функции энергии одночастичных состояний. Стрелками указано положение химического потенциала.

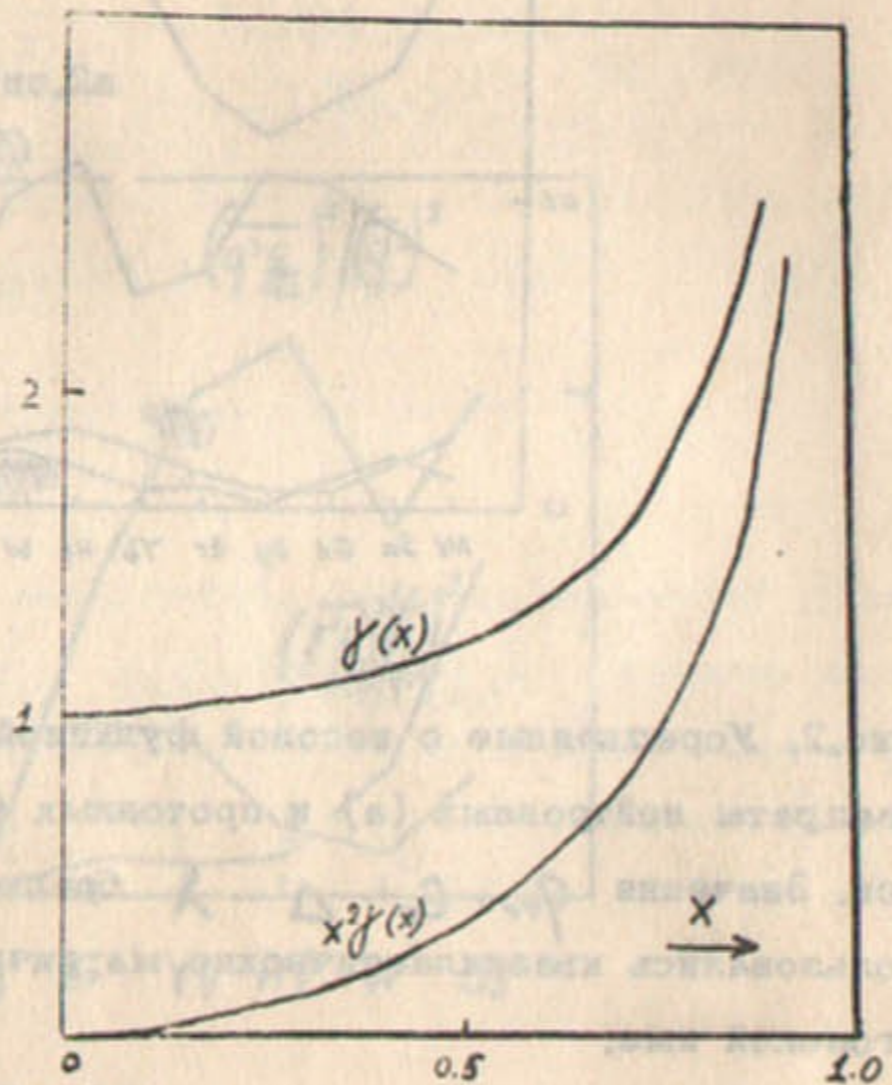


Рис.4.

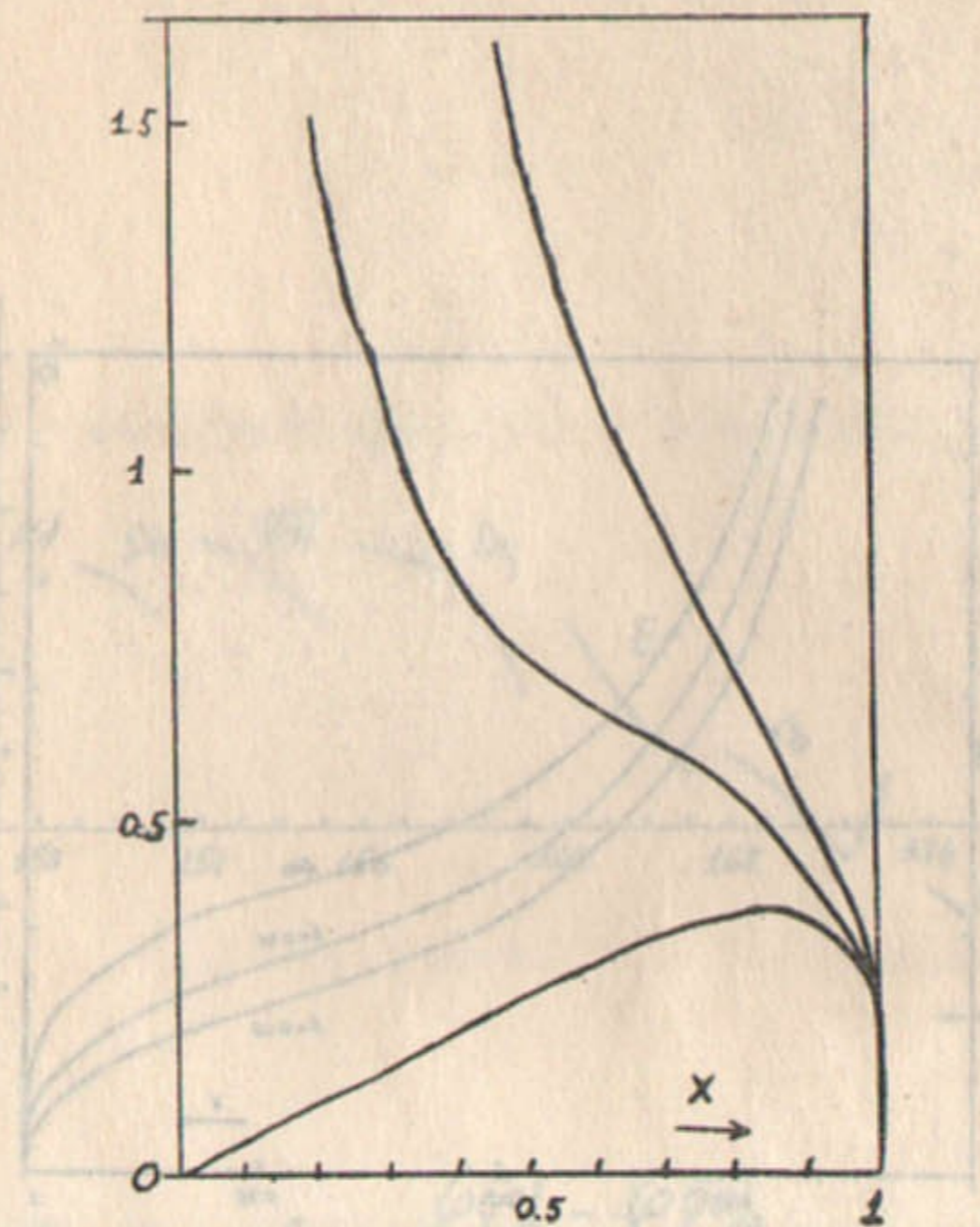


Рис.5. Функция  $F^2(x; \frac{a}{b})$  для трех значений параметра  $a/b$ . Верхняя и нижняя кривые отвечают чистым  $\beta$ -колебаниям ( $a/b=0$ ) и флуктуациям спаривания ( $a/b=\infty$ ) соответственно. Реальному значению параметра  $a/b=0,6$  отвечает промежуточная кривая.



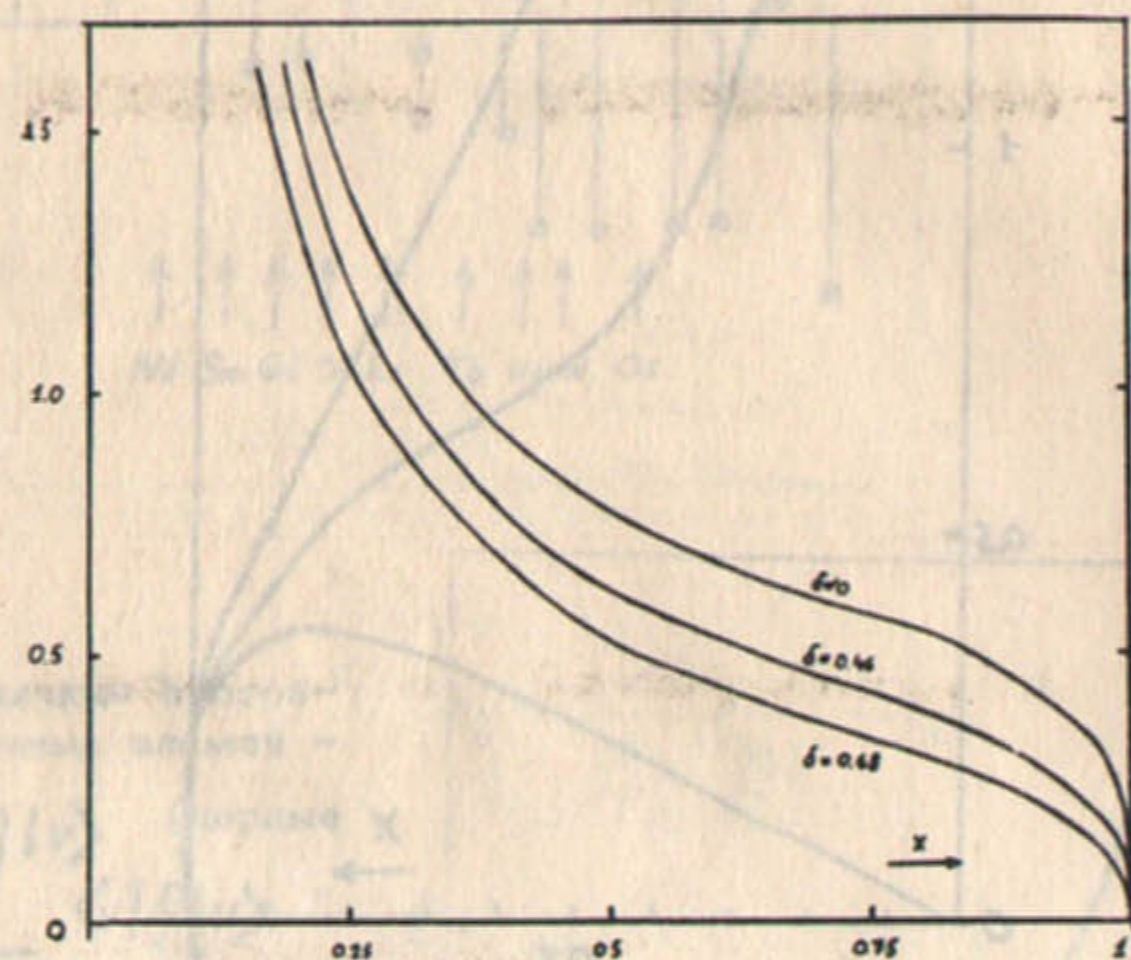


Рис.6. Зависимость функции  $F^2(x; \frac{z}{2}; \delta)$  от  $x$  для различных значений параметра  $\delta$  ( $a/b = 0.83$ ).

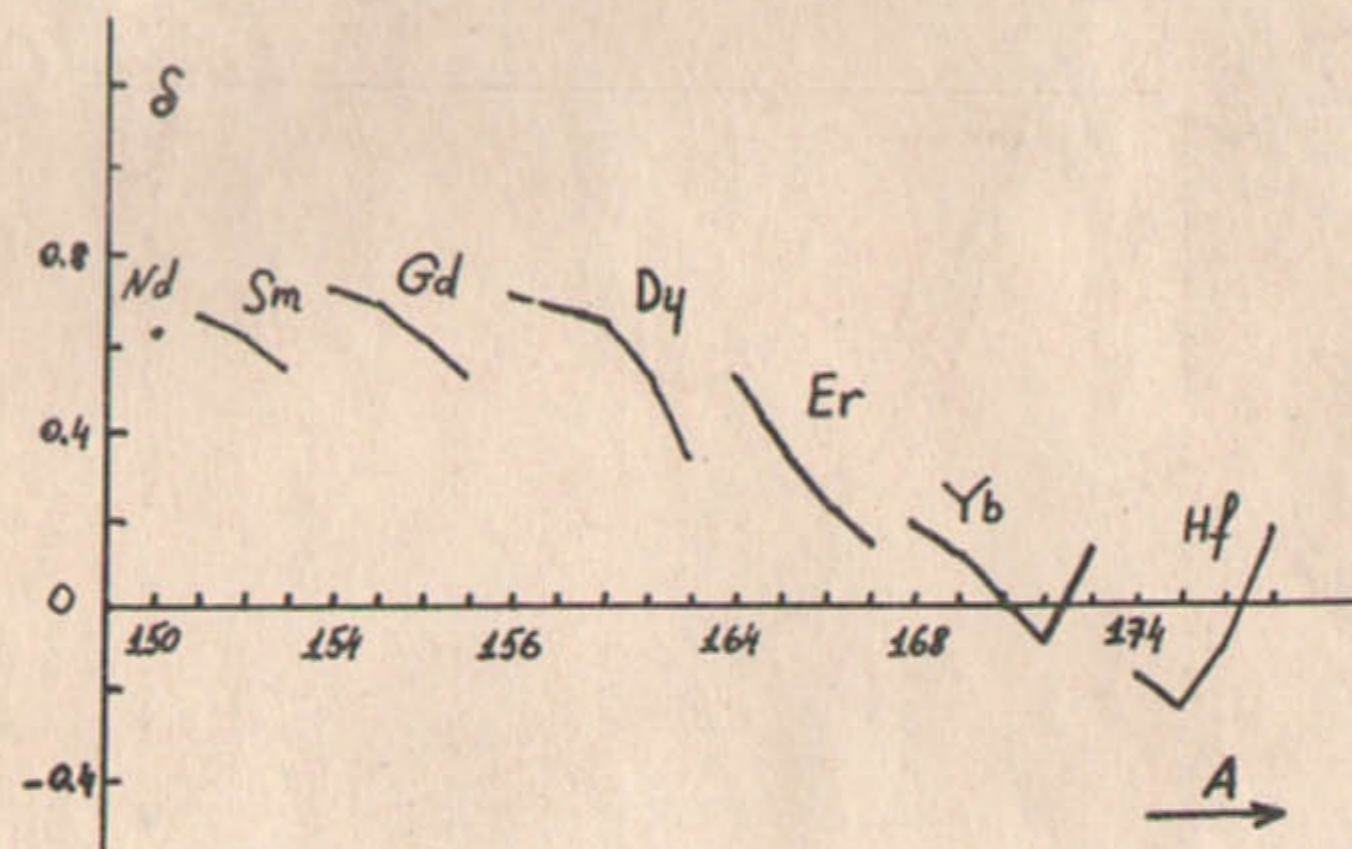


Рис.7. Параметр  $\delta = \frac{(\overline{\rho^2})_n - (\overline{\rho^2})_p}{(\overline{\rho^2})_n + (\overline{\rho^2})_p}$ , характеризующий отличие протонных и нейтронных средних для ядер редкоземельной области.

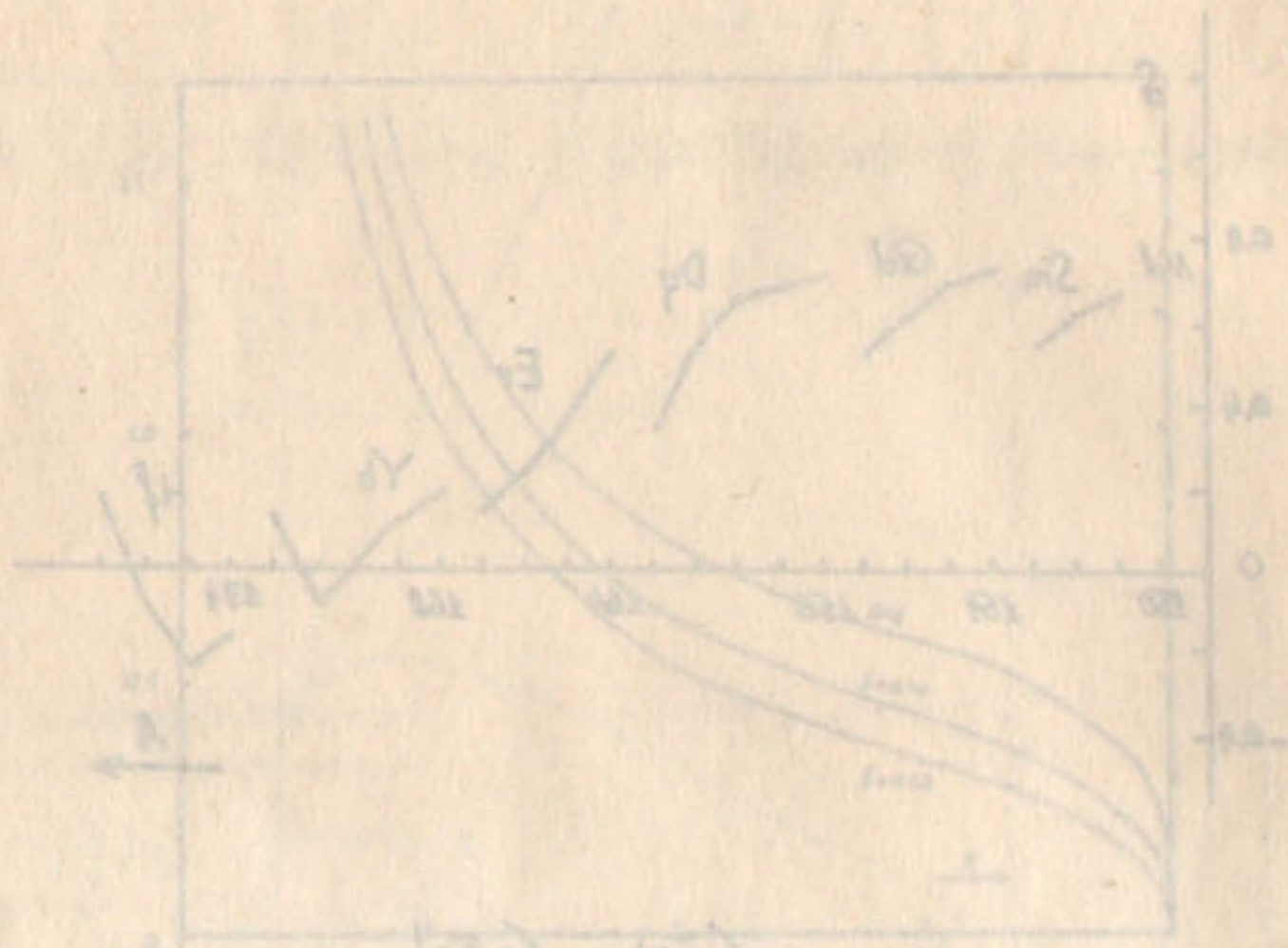


Рис. 7. Параметр  $\delta = \frac{200 - 100}{200 + 100}$  характеризует степень протонной и нейтронной связи для ядер различных элементов.

Рис. 8. Зависимость функции  $F^2(x; E, \delta)$  от  $x$  для различных значений параметра  $\delta$  (0/10 - 0/90).

---

Ответственный за выпуск Б.А.Румянцев  
 Подписано к печати 20.1-70  
 Усл. 1,2 печ.л., тираж 150 экз.  
 Заказ № 1, бесплатно. ПРЕПРИНТ.

---

Отпечатано на ротапринтере в ИЯФ СО АН СССР